

СХЛОПЫВАНИЕ МЕТАЛЛИЧЕСКОЙ ОБОЛОЧКИ ПОД ДЕЙСТВИЕМ МАГНИТНОГО ПОЛЯ

С. Г. Алиханов, Г. И. Будкер, Г. Н. Кичигин, А. В. Комин

(Новосибирск)

В работе представлены результаты экспериментов по схлопыванию металлических оболочек (лайнеров) под действием магнитного поля одновиткового соленоида. Получены энергии схлопывающихся оболочек около 100 кдж, что составляет $\approx 25\%$ начальной энергии конденсаторной батареи. Приводится теоретический расчет движения лайнера при некоторых упрощениях. Данные экспериментов сравниваются с расчетными.

Одним из способов концентрации большой энергии в малом объеме является использование для этой цели кинетической энергии схлопывающейся оболочки. В качестве оболочки целесообразно применить тонкостенный металлический цилиндр (лайнер). Для ускорения лайнера обычно применяются взрывчатые вещества [1,2]. Однако в лабораторных экспериментах несомненно удобнее использование магнитного давления [3]. В этом случае передача энергии происходит по схеме: энергия конденсаторной батареи — магнитное поле соленоида — кинетическая энергия лайнера. Для проведения такого эксперимента необходимо выполнение двух условий: время сжатия t_* меньше времени проникновения поля внутрь оболочки, т. е. $t_* < bd/D$ (b — толщина оболочки, d — диаметр лайнера, D — коэффициент диффузии магнитного поля); давление магнитного поля должно существенно превышать предел прочности материала оболочки. Если второе требование удовлетворяется, то лайнер можно считать жидким, и его движение под действием магнитного давления будет описываться в рамках магнитной гидродинамики, причем из теоретического анализа такого движения (в продольном магнитном поле) следует, что оно устойчиво [4]. В данной работе приведены результаты экспериментов по схлопыванию металлических оболочек в магнитном поле (металлический θ -пинч), которые сравниваются с данными теоретического расчета движения лайнера. Магнитное поле создается одновитковым соленоидом, внутри которого помещен лайнер. Соленоид вместе с малоиндуктивными подводами и источником энергии — батареей конденсаторов — образует $R L C$ -контур. Общая емкость конденсаторов $C_0 = 5 \cdot 10^{-2} \Phi$, начальное напряжение $U_0 = 4 \text{ ке}$. Типичные параметры алюминиевых (марка АД-1М) лайнера: внешний диаметр $d = 80 \text{ мм}$, толщина стенки $b = 2.5 \text{ мм}$, длина $l = 150 \text{ мм}$, масса $M = 250 \text{ г}$; параметры медных (медь М1) лайнера соответственно: $d = 80 \text{ мм}$, $b = 1 \text{ мм}$, $l = 150 \text{ мм}$, $M = 350 \text{ г}$. При проведении экспериментов измерялись ток в контуре и напряжение на батарее конденсаторов. Положение лайнера фиксировалось с торца в проходящем свете импульсной лампы (ИФК-200) СФР-ом, работающим в режиме непрерывного фоторегистрирования и режиме лупы времени.

1. Рассмотрим схлопывание проводящего металлического лайнера в продольном магнитном поле. Задача сводится к совместному решению уравнений движения лайнера под действием магнитного давления и уравнений, описывающих электрические процессы в контуре. При решении не учитываются следующие факторы: конечность толщины лайнера, потери энергии на деформацию, проникновение поля внутрь лайнера и изменение активного сопротивления контура со временем. При этих упрощениях система уравнений запишется следующим образом (в гауссовой системе единиц):

$$\begin{aligned} M \frac{d^2\delta}{dt^2} &= - \frac{I^2}{2c^2} \frac{\partial L}{\partial \delta}, & \delta(t) &= r_0 - r(t) \\ I &= -C_0 \frac{dU}{dt}, & U &= \frac{1}{c^2} \frac{d}{dt}(LI) + RI \end{aligned} \quad (1.1)$$

Здесь M — масса лайнера, r_0 — радиус соленоида, r — радиус цилиндрической оболочки; $I(t)$, $U(t)$ — ток и напряжение на конденсаторе; R , C_0 , $L(t)$ — соответственно сопротивление, емкость и индуктивность контура, c — скорость света. Эта система уравнений решалась при начальных условиях

$$I(0) = \delta(0) = \frac{d\delta}{dt} \Big|_{t=0} = 0, \quad U(0) = U_0 \quad (1.2)$$

Индуктивность контура (без учета торцов соленоида) легко выражается через $\delta(t)$:

$$L(t) = L_0 + L_1(t) = L_0 + \frac{4\pi^2 N^2 \delta(t) [2r_0 - \delta(t)]}{l} \quad (1.3)$$

Здесь L_1 — индуктивность соленоида с лайнером; L_0 — индуктивность контура в начальный момент времени; N , l — число витков и длина соленоида соответственно.

Систему (1.1) удобно привести к системе уравнений для безразмерных величин

$$y = \frac{\delta}{r_0}, \quad z = \frac{U}{U_0}, \quad \tau = \frac{ct}{\sqrt{L_0 C_0}}$$

Эта система после подстановки второго уравнения из (1.1) в третье и с учетом (1.3) будет иметь вид

$$\begin{aligned} \frac{d^2y}{d\tau^2} &= \beta(1-y) \left(\frac{dz}{d\tau} \right)^2 \\ [1+\alpha y(2-y)] \frac{d^2z}{d\tau^2} + \left[2\alpha(1-y) \frac{dy}{d\tau} + \gamma \right] \frac{dz}{d\tau} + z &= 0 \quad (1.4) \\ \alpha &= \frac{4\pi^2 N^2 r_0^2}{L_0 l}, \quad \beta = \frac{4\pi^2 N^2 C_0^2 U_0^2}{M c^2 l}, \quad \gamma = \frac{c R}{\sqrt{L_0 / C_0}} \end{aligned}$$

Соответственно изменяются начальные условия (1.2).

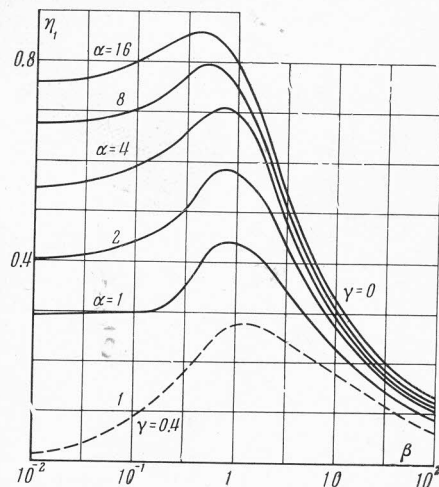
Система нелинейных уравнений (1.4) при различных параметрах α , β , γ решалась на электронной вычислительной машине М-20.

На фиг. 1 графически представлены зависимости к.п.д. установки η от α и β ($\gamma = 0$). Левые части кривых соответствуют медленному сжатию, когда время сжатия существенно больше периода колебаний контура. В этом случае справедливо адиабатическое соотношение

$$W/f = \text{const} \quad (1.5)$$

Здесь W , f — энергия и частота контура. Из соотношения (1.5) для к.п.д. получим

$$\eta = 1 - \frac{1}{\sqrt{1+\alpha}} \quad (\beta \ll 1)$$



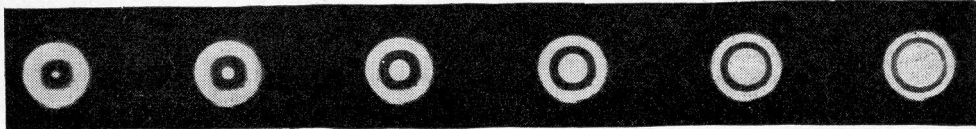
Фиг. 1

Этому закону приближенно следует зависимость η от α (при малых фиксированных β), полученная из расчета. Правые части кривых соответствуют случаю быстрого сжатия, когда оболочка схлопывается за время,

существенно меньшее времени разряда батареи. В этом случае к.п.д. мал

$$\eta \approx \alpha / V\beta \ll 1 \quad (\alpha \ll \beta)$$

Оптимальное значение параметра $\beta \approx 1$, как и следует ожидать, приблизенно соответствует равенству времени схлопывания полупериоду

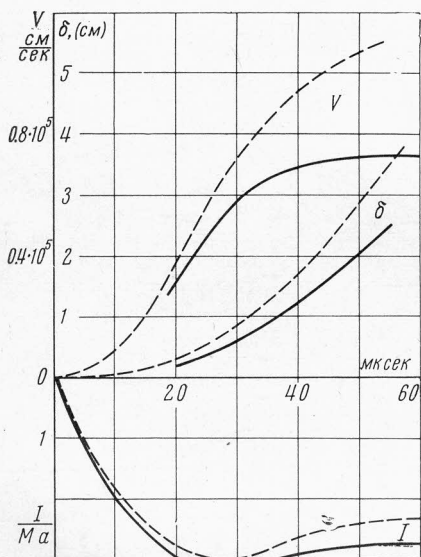


Фиг. 2

колебаний контура. На том же графике одна из кривых (пунктир) приводится для случая $\gamma \neq 0$. Как видно из этого графика, учет γ значительно уменьшает к.п.д.

2. На фиг. 2 показаны фазы схлопывания оболочки из алюминия, снятые СФР-ом в режиме лупы времени. Интервал между кадрами 8 мкsec. В соответствии с теорией

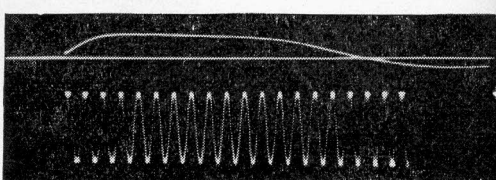
[4], внешнее продольное магнитное поле не вызывает магнитогидродинамических нестабильностей. Видимая на СФР-граммах площадь сечения кольца, в пределах ошибок измерения, остается постоянной в ходе сжатия оболочки. Это свидетельствует о том, что лайнер до самого момента схлопывания сохраняет первоначальную цилиндрическую форму. На фиг. 3 приведена экспериментальная (сплошная кривая) и теоретическая (пунктир) зависимости положения лайнера δ , его скорости V и тока в контуре I от времени; из этой фигуры видно, что основное ускорение лайнера происходит на первой половине пути. На последнем этапе схлопывания начинают скаваться силы торможения вследствие вязкости материала и сопротивления скатого воздуха. Запасенная лайнером кинетическая энергия переходит в энергию взрыва, которым завершается процесс схлопывания. При расширении проводящего облачка, образовавшегося при взрыве, индуктивность контура уменьшается. Этим объясняется продолжение плато на осциллограмме тока в контуре после момента схлопывания оболочки, представленной на фиг. 4, где максимальное значение тока $2.8 \cdot 10^6$



Фиг. 3

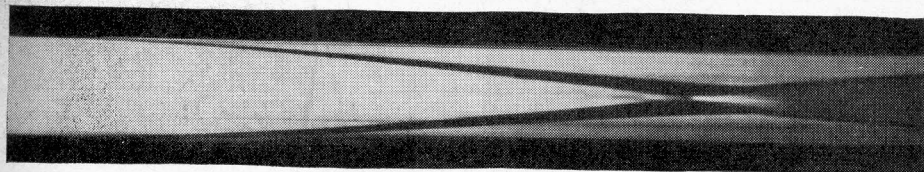
Ma (частота калибровочного сигнала 125 кгц). Медный лайнер сжимается подобно алюминиевому.

Кадровые съемки дают возможность проследить общую картину движения и устойчивости лайнера. Для определения положения и скорости оболочки в любой момент времени были проведены съемки в режиме непрерывного фотографирования. Ширина щели фоторегистратора выбиралась таким образом, чтобы часть лайнера, вырезаемую ею, практически можно было считать плоской во все моменты схлопывания. На фиг. 5 показана одна из фотографий, полученная в этом режиме для алюминиевого лайнера, а на фиг. 3 приведены кривые для $\delta(t)$ и $V(t) = d\delta/dt$ (сплошные линии), полученные после обработки подобной фотографии. Там же приведена экспериментальная кривая для тока. Эти кривые сравниваются с расчетными (пунктир)



Фиг. 4

при соответствующих величинах параметров α , β , γ , которые определялись условиями эксперимента. Некоторое отклонение от теории можно объяснить неточностью в определении параметров α , β , γ , неучетом твердости (в начальный период движения) и вязкости (в конечном этапе схлопывания) металла.



Фиг. 5

Кинетическая энергия лайнера, приобретенная им за время ускорения, $E_* = \frac{1}{2} M V_*^2$ (M —масса, V_* — максимальная скорость оболочки в конечной стадии сжатия) в проведенных экспериментах достигает 100 кДж (к. п. д. $\approx 25\%$). Это превосходит ранее полученные результаты работы [5]. Схлопывающаяся металлическая оболочка с энергией 100 и более килоджоулей несомненно имеет практический интерес и может быть использована для нагрева плазмы, получения сильного магнитного поля и т. п.

В заключение авторы благодарят В. А. Полякова и В. Г. Белана за содействие при проведении эксперимента.

Поступила 15 II 1965

ЛИТЕРАТУРА

- Сахаров А. Д. и др. Магнитная кумуляция. Докл. АН СССР, 1965, т. 165, № 1.
- Fowler C. M., Garn W. B., Caird R. S. Production of Very High Magnetic Fields by Implosion. J. Appl. Phys., 1960, vol. 31, No. 3.
- Linhart J. G., Knoepfle H., Gourian C. Amplification of Magnetic Fields and Heating of Plasma by a Collapsing Metallic Shell. Nucl. Fusion, 1962, Suppl., pt. 2, p. 753.
- Linhart J. G. Dynamic Stability of a Conducting, Cylindrical Shell in a Magnetic Field. J. Appl. Phys., 1961, vol. 32, No. 3.
- Cnare E. C. Cylindrical Metallic Foils Collapsed in a «Theta» Pinch. Proc. Conf. on Megagauss Magn. Field by Explosives and Related Experiments. Frascati, Sept. 21–23, 1965.